

유체 이송 연직 외팔 송수관의 고유치분기와 플러터 모드에 미치는 중력 효과

류봉조[#], 류시웅^{*}, 신광복^{**}

Gravitational Effect on Eigenvalue Branches and Flutter Modes of a Vertical Cantilevered Pipe Conveying Fluid

Bong Jo Ryu[#], Si Ung Ryu^{*} and Kwang Bok Shin^{**}

ABSTRACT

The paper presents gravitational effect on eigenvalue branches and flutter modes of a vertical cantilevered pipe conveying fluid. The eigenvalue branches and modes associated with flutter of cantilevered pipes conveying fluid are fully investigated. Governing equations of motion are derived by extended Hamilton's principle, and the related numerical solutions are sought by Galerkin's method. Root locus diagrams are plotted for different values of mass ratios of the pipe, and the order of branch in root locus diagrams is defined. The flutter modes of the pipe at the critical flow velocities are drawn at every one of the twelfth period. The transference of flutter-type instability from one eigenvalue branches to another is investigated thoroughly.

Key Words : Eigenvalue branches(고유치 분기), Critical flow velocity (임계유속), Gravitational effect(중력 효과), Material damping(재질감쇠), Quasi-mode order (준모드 차수), Flutter modes(플러터모드)

1. 서론

유체유동에 의한 연직 외팔 송수관의 고유치 분기와 플러터 모드에 관한 연구는 기계공학, 항공 우주공학, 자동차공학, 토목·건축공학 등 공학의 제 분야에서 많은 연구자들의 관심의 대상이 되어져 왔다.

외팔송수관의 동적안정성에 관한 지금까지의 대부분의 연구들은 이론적 연구뿐만 아니라 실험적 연구에 있어서도 주로 임계유속 값을 구하는 데에만 집중되어져 왔다^{1~4}.

그러나 불안정일 때의 송수관의 모드형상은 불안정 메카니즘의 이해뿐만 아니라 불안정진동을 제어하는 방법을 찾기 위해서라도 상세하게 조사될 필요가 있다.

송수관 안정성문제의 권위자인 Paidouss⁵의 연구에서 조차도 고유치 분기와 불안정 모드를 혼동하여 쓰고 있다. 이러한 상황 하에서 최근 류봉조와 공동연구자들은^{6~7}은 수평 외팔 송수관 모델에 대해 고유치 분기의 차수와 이에 상응하는 플러터 모드 형상을 정의하였고, 탄성지지된 파이프의 동적안정성과 진동에 대하여 연구하였다.

접수일: 2005년 7월 7일; 개재승인일: 2006년 3월 3일

교신저자 : 정희원, 한밭대학교 기계공학부

E-mail bjryu701@hanbat.ac.kr Tel. (042) 821-1159

* 정희원, 특허청

** 정희원, 한밭대학교 기계공학부

본 연구에서는 연직 외팔 송수관에 대해 플러터에 관계하는 고유치 분기와 이때의 불안정 모드에 대하여 연구하며, 중력을 고려하였을 때와 그렇지 않은 경우에 대한 임계 유속 값을 구하는데 목적 이 있다.

2.1 운동방정식

Fig. 1은 송수관의 전체 길이가 L 이고, 단위 길이 당 m_f 의 비압축성 유체가 일정한 유속 U 로 아래 방향으로 흐르고 있는 연직 외팔 송수관의 그림이다.

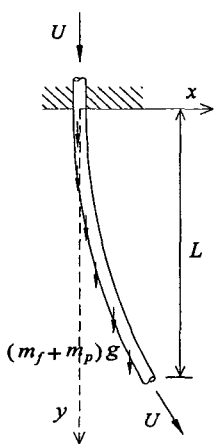


Fig. 1 A mathematical model of a vertical cantilevered pipe conveying fluid

Fig. 1에서 송수관의 단위 길이 당 질량은 m_f 이고, $x-y$ 평면에서 미소 운동을 한다고 가정한다. Fig. 1 모델에 대한 운동 방정식은 식 (1)과 같다.

$$E \cdot I_1 \frac{\partial^5 y}{\partial x^4 \partial t} + EI \frac{\partial^4 y}{\partial x^4} + m_f \left(\frac{\partial}{\partial t} + U \frac{\partial}{\partial x} \right)^2 y + m_p \frac{\partial^2 y}{\partial t^2} + (m_f + m_p)g \left[\frac{\partial y}{\partial x} - (L-x) \frac{\partial^2 y}{\partial x^2} \right] = 0 \quad (1)$$

식 (1)에 있어, 좌변의 제 1항은 송수관 재질에 따른 내부 감쇠에 의한 항, 제 2항은 송수관의 굽힘 강성에 의한 항, 제 3항은 유동유체의 가속도에 의한 항, 제 4항은 송수관의 질량관성에 의한 항, 제 5항은 중력에 의한 항을 나타내고 있다. 또한, 경계조건에 관한 식은 다음과 같다.

$$\begin{aligned} y(0, t) &= 0, \quad \frac{\partial y(0, t)}{\partial x} = 0, \\ E \cdot I_1 \frac{\partial^3 y(L, t)}{\partial x^2 \partial t} + EI \frac{\partial^2 y(L, t)}{\partial x^2} &= 0, \\ E \cdot I_1 \frac{\partial^4 y(L, t)}{\partial x^3 \partial t} + EI \frac{\partial^3 y(L, t)}{\partial x^3} &= 0 \end{aligned} \quad (2)$$

계산상의 편리를 위해 다음과 같은 무차원화된 좌표와 파라미터들을 이용한다.

$$\begin{aligned} \xi &= \frac{x}{L}, \quad \beta = \frac{m_f}{m_f + m_p}, \quad \tau = \frac{t}{L^2} \sqrt{\frac{EI}{m_f + m_p}}, \\ \eta &= \frac{y}{L}, \quad \gamma = \frac{EI}{EL^2} \sqrt{\frac{EI}{m_f + m_p}}, \quad u = UL \sqrt{\frac{m_f}{EI}}, \\ \rho &= \frac{m_f + m_p}{EI} g L^3 \end{aligned} \quad (3)$$

여기서, ξ 와 η 는 각각 무차원화된 x 와 y 의 좌표를 나타내고, τ 는 무차원화된 시간을 나타낸다. 또한, β 는 송수관의 질량비, γ 는 내부감쇠 파라미터, ρ 는 중력파라미터, u 는 무차원화된 유속을 나타낸다.

식 (3)을 식 (1)과 식 (2)에 대입하면 다음과 같은 무차원화된 운동방정식과 경계조건식을 얻을 수 있다.

$$\begin{aligned} \gamma \frac{\partial^5 \eta}{\partial \xi^4 \partial \tau} + \frac{\partial^4 \eta}{\partial \xi^4} + \frac{\partial^2 \eta}{\partial \tau^2} + 2u\beta^{1/2} \frac{\partial^2 \eta}{\partial \tau \partial \xi} + u^2 \frac{\partial^2 \eta}{\partial \xi^2} \\ - (1-\xi)\rho \frac{\partial^2 \eta}{\partial \xi^2} + \rho \frac{\partial \eta}{\partial \xi} = 0 \quad (4) \\ \eta(0, \tau) = 0, \quad \frac{\partial \eta(0, \tau)}{\partial \xi} = 0, \\ \frac{\partial^3 \eta(1, \tau)}{\partial \xi^2 \partial \tau} + \gamma \frac{\partial^2 \eta(1, \tau)}{\partial \xi^2} = 0, \\ \frac{\partial^4 \eta(1, \tau)}{\partial \xi^3 \partial \tau} + \gamma \frac{\partial^3 \eta(1, \tau)}{\partial \xi^3} = 0 \end{aligned} \quad (5)$$

2.2 갤러킨 방법의 적용

식 (4)의 운동방정식의 해를 구하기 위해 갤러킨 방법을 이용한다.

$$\eta(\xi, \tau) = \sum_{m=1}^M a_m(\tau) \phi_m(\xi) \quad (6)$$

식 (6)에서 $a_m(\tau)$ 는 일반화된 좌표이고, 좌표함수 $\phi_m(\xi)$ 는 다음과 같다.

$$\phi_m(\xi) = \cosh \lambda_m \xi - \cos \lambda_m \xi - \sigma_m (\sinh \lambda_m \xi - \sin \lambda_m \xi) \quad (7)$$

여기서, λ_m 은 외팔송수관의 고유치이고, 계수 σ_m 은 다음 식으로 주어진다.

$$\sigma_m = \frac{\cosh \lambda_m + \cos \lambda_m}{\sinh \lambda_m + \sin \lambda_m} \quad (8)$$

식 (6)을 식 (4)에 대입하여 정리하면 다음과 같은 식으로 표현된다.

$$\sum_{m=1}^M (A_{nm} \ddot{a}_m + B_{nm} \dot{a}_m + C_{nm} a_m) = 0, \quad (n=1, 2, \dots, M) \quad (9)$$

여기서, 계수 A_{nm} , B_{nm} , C_{nm} 은 다음과 같다.

$$A_{nm} = \delta_{nm},$$

$$B_{nm} = (\lambda^4 m^4) \delta_{nm} + 2u\beta^{1/2} \int_0^1 \phi_n \phi'_m d\xi$$

$$C_{nm} = \lambda^4 m \delta_{nm} + p \int_0^1 \phi_n \phi''_m d\xi + (u^2 - p) \int_0^1 \phi_n \phi'''_m d\xi + p \int_0^1 \xi \phi_n \phi''_m d\xi \quad (10)$$

최종적으로 식 (9)는 다음과 같은 행렬 형태의 식으로 나타낼 수 있다.

$$[A] \{ \ddot{a} \} + [B] \{ \dot{a} \} + [C] \{ a \} = 0 \quad (11)$$

한편, 식 (11)은 다음과 같이 쓸 수 있다.

$$\{ \dot{Z} \} = [P] \{ Z \} \quad (12)$$

여기서,

$$\{ Z \} = \begin{Bmatrix} \{ \dot{a} \} \\ \{ a \} \end{Bmatrix},$$

$$[P] = \begin{bmatrix} -[A]^{-1}B & -[A]^{-1}C \\ -[I] & -[0] \end{bmatrix}$$

이고, $[I]$, $[0]$ 는 각각 단위행렬과 영행렬이다.

식 (11)을 다시 표현한 식 (12)의 해를

$$a_m(\tau) = h_m \exp(\lambda \tau) \quad (13)$$

와 같이 놓고 식 (13)을 식 (12)에 대입하면 다음과 같은 특성 방정식을 얻을 수 있다.

$$|[P] - \lambda[I]| = 0 \quad (14)$$

식 (14)의 특성근 λ 는 일반적으로 다음과 같이 쓸 수 있다.

$$\lambda = \sigma \pm i\omega, \quad (i = \sqrt{-1}) \quad (15)$$

계의 안정성은 특성근 λ 의 실수부분인 σ 의 부호에 의해 다음과 같이 판별된다.

$\sigma < 0$:	안정
$\sigma = 0$:	임계
$\sigma > 0$:	불안정

(16)

2.3 임계플러터 형상

플러터 불안정이 발생하는 임계유속 ($u_{cr} = u_*$)에서의 특성 근은

$$\lambda_* = \pm i\omega_* \quad (17)$$

가 된다.

따라서 변위벡터는 다음과 같이 된다.

$$n(\tau) = |\{X_i\}| \cos(\omega_* \tau + \Phi_i) \quad (18)$$

여기서, $\{X_i\}$ 는 고유벡터이고, 위상각 ϕ_i 는 다음과 같다.

$$\tan \phi_i = \text{Im}\{X_i\} / \text{Re}\{X_i\} \quad (19)$$

3. 수치해석결과 및 고찰

3.1 고유치 분기의 유착과 전환

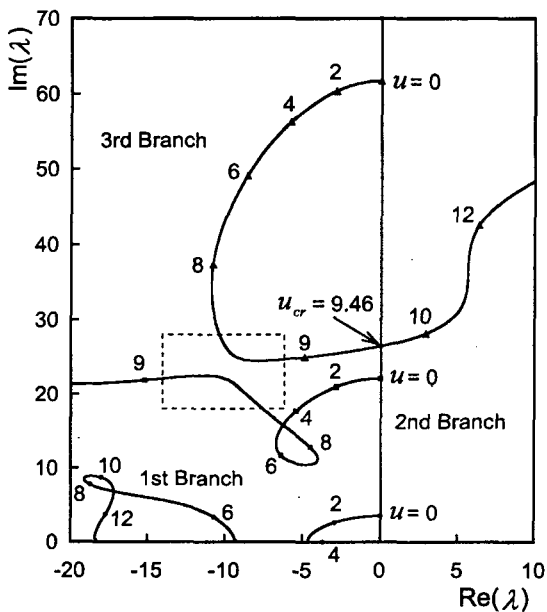


Fig. 2 Diagrams of the three lowest eigenvalues of the cantilevered pipes conveying fluid for $\beta = 0.520$ ($\rho = 0.1$, $\gamma = 0.0$)

Fig. 2는 중력파라미터가 $\rho = 0.1$ 이고 내부감쇠가 없는 경우($\gamma = 0.0$), 질량비 β 가 0.520일 때의 고유치 곡선을 나타낸다. 유속 증가에 따라 3차 고유치가 허수축의 우반 평면쪽으로 이동하는 분기가 일어나며, 즉 3차 고유치 분기에서 플러터가 발생하고, 이때의 임계유속 값 u_{cr} 은 9.46이다.

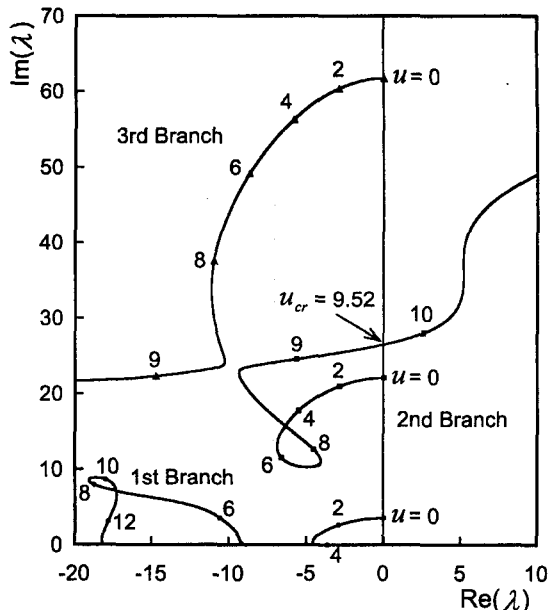


Fig. 3 Diagrams of the three lowest eigenvalues of the cantilevered pipes conveying fluid for $\beta = 0.530$ ($\rho = 0.1$, $\gamma = 0.0$)

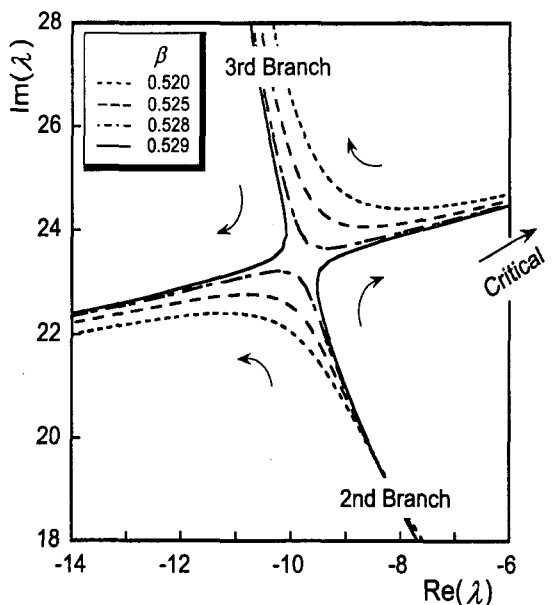


Fig. 4 Transfer of instability branch from the third to the second branch

β 값을 조금 증가시킨 $\beta = 0.530$ 에서 내부감쇠가 없는 경우의 고유치 곡선을 Fig. 3에 나타내고 있는데, 여기서는 2차 고유치 분기에서 플러터가 발생한다. 또한, 임계유속값 u_{cr} 은 9.52이다. 질량비의 변화에 따른 플러터가 발생하는 고유치 분기의 차수가 다른 것을 알 수 있다.

이제 플러터가 발생하는 고유치 분기를 상세히 관찰하기 위해서 Fig. 4에서는 Fig. 2의 점선부분과 $\beta = 0.525, 0.528, 0.529$ 일 때의 고유치 분기의 궤적을 확대하여 나타내었다. 3차 분기와 2차 분기가 유착하고 전환이 발생하여 $\beta = 0.529$ 에서는 2차 분기에서 플러터가 발생하는 것을 알 수 있다.

3.2 플러터 모드형상

Fig. 5와 Fig. 6은 중력파라미터 ρ 가 0.1이고 내부감쇠가 없는 경우와 있는 경우 각각에 대해 송수관의 불안정에 관계하는 진동 모드 형상을 나타낸 그림들이며, 각각 $1/12$ 의 주기로 최대진폭이 송수관 전체길이의 $1/10$ 에 해당된다.

먼저, Fig. 5(a)는 $\rho = 0.1, \gamma = 0.0$ 이고 β 가 0.296일 때의 플러터 모드형상으로 하나의 이동절점(moving node)을 가지며 준(quasi) 2차 모드 형이다.

Fig. 5(b)는 β 가 0.297일 때의 불안정 진동 모드 형상으로 두개의 이동절점을 가지는 준 3차 모드형인 것을 알 수 있다.

Fig. 6(a)는 $\rho = 0.1, \gamma = 0.001$ 이고 β 가 0.718일 때의 플러터 모드 형상으로 두개의 이동절점(moving node)을 가지며 준 3차 모드 형이다. Fig. 6(b)는 β 가 0.719일 때의 불안정 진동 모드 형상으로 3개의 이동절점을 가지는 준 4차 모드형인 것을 알 수 있다.

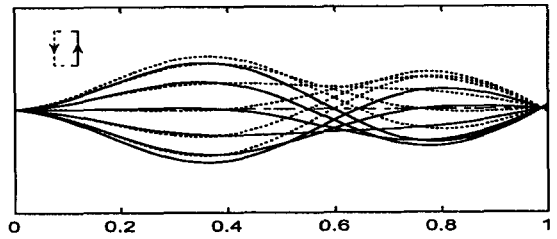
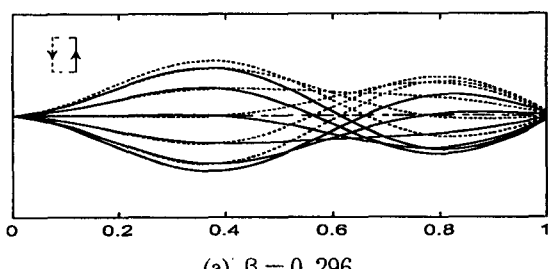


Fig. 5 Flutter mode configurations for the gravity parameter $\rho = 0.1$ ($\gamma = 0.0$)

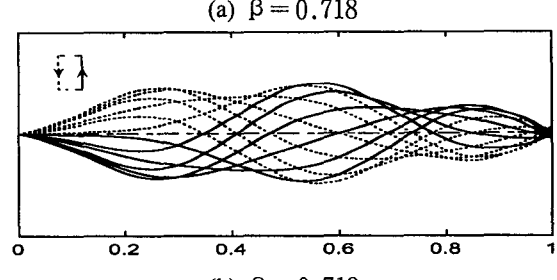
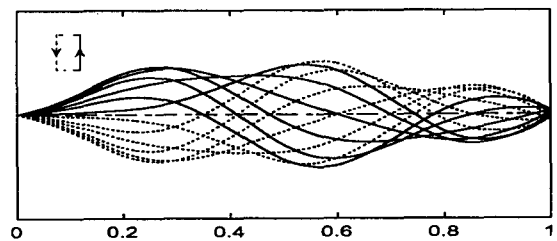
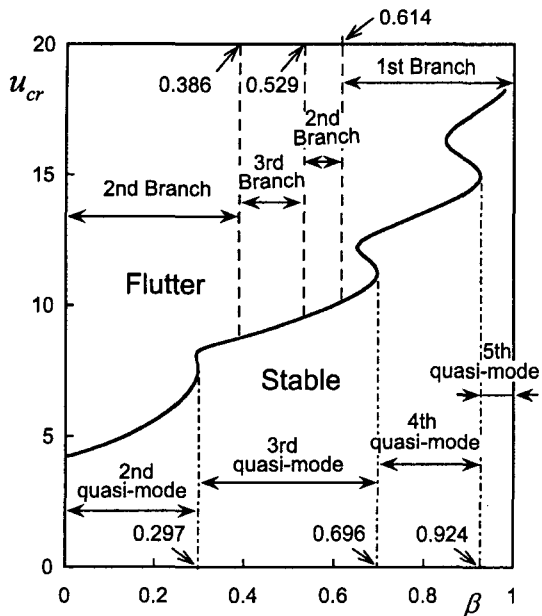


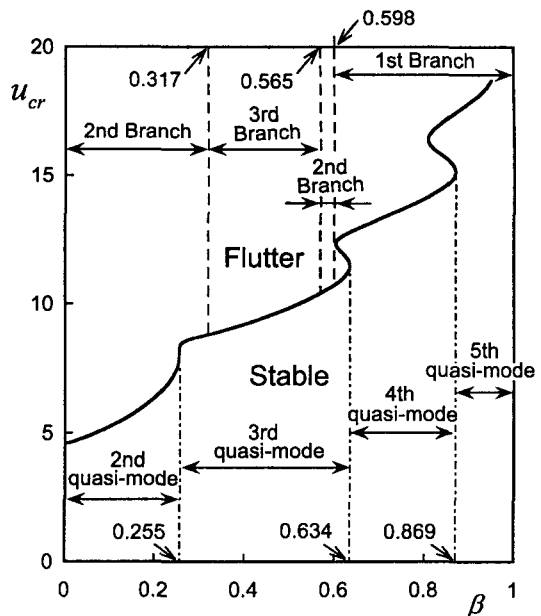
Fig. 6 Flutter mode configurations for the gravity parameter $\rho = 0.1$ ($\gamma = 0.001$)

3.3 안정성 선도

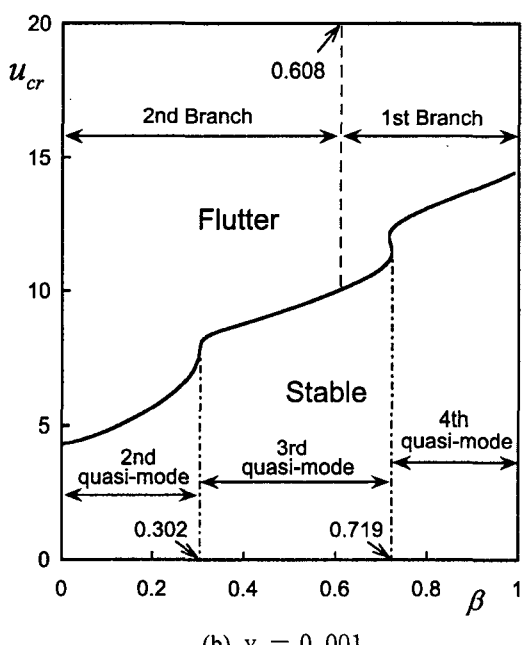
Fig. 7은 중력 파라미터가 $\rho = 0.1$ 이고, 내부 감쇠를 무시한 경우와 내부 감쇠를 고려한 경우의 안정성 선도이다. Fig. 7(a)의 내부감쇠 무시한 경우 $0 < \beta \leq 0.385$ 의 구간에서는 2차 고유치 분기에서 플러터가 발생하고, $\beta = 0.386$ 에서 2차 고유치 분기에서 3차 분기로 전환이 발생한다. 따라서 $0.386 \leq \beta \leq 0.528$ 의 구간에서는 3차 고유치 분기에서 플러터가 발생한다. 또한, $0.529 \leq \beta \leq 0.613$ 에서는 다시 2차 고유치 분기에서 플러터가 발생하고, $0.614 \leq \beta < 1$ 에서는 1차 고유치 분기에서 플러터가 발생하는 것을 알 수 있다.



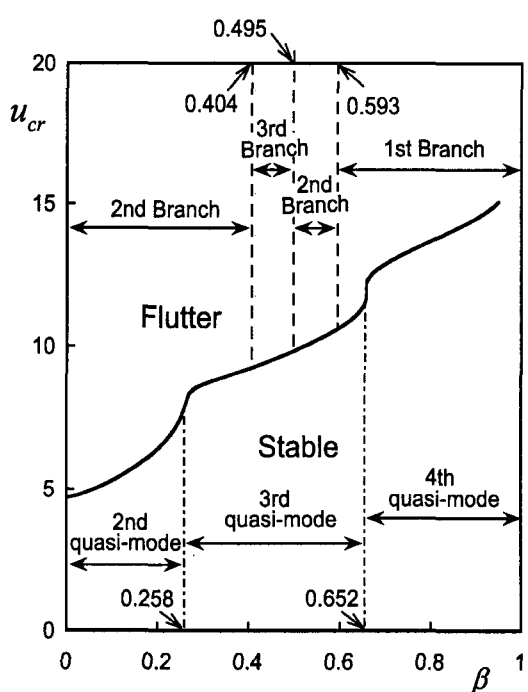
(a) $\gamma = 0.0$



(a) $\gamma = 0.0$



(b) $\gamma = 0.001$



(b) $\gamma = 0.001$

Fig. 7 Stability map and the critical mass ratios for $\rho = 0.1$

Fig. 8 Stability map and the critical mass ratios for $\rho = 10$

Fig. 7(b)는 내부 감쇠를 고려한 경우로 이 그림에서는 $0 < \beta \leq 0.607$ 의 구간에서 2차 고유치 분기에서 플러터가 발생하고, $\beta = 0.608$ 에서 2차 고유치 분기에서 1차 고유치 분기로 전환이 발생한다. 한편, 나머지 모든 구간에서는 1차 고유치 분기에서 플러터가 발생하는 것을 알 수 있다.

Fig. 7과 동일한 방법으로 중력파라미터가 $\rho = 10$ 일 때 내부 감쇠를 무시한 경우와 내부 감쇠를 고려한 경우의 안정성 선도를 Fig. 8에 나타내었다. 중력파라미터 값의 큰 차이에 따라 감쇠가 있는 경우든 없는 경우든 임계유속에 있어 차이가 있을뿐만 아니라, 감쇠가 있는 경우, 고유치 분기 차수가 상이함을 알 수 있다.

3.4 질량비와 중력효과

Fig. 9와 Fig. 10은 각각 내부감쇠가 없는 경우와 있는 경우, 질량비 β 의 변화에 따른 중력효과를 나타낸 그림들이다.

동일 질량비에 대해 내부감쇠의 유무에 관계없이 중력파라미터가 큰 경우가 큰 임계유속 값을 보임을 알 수 있다.

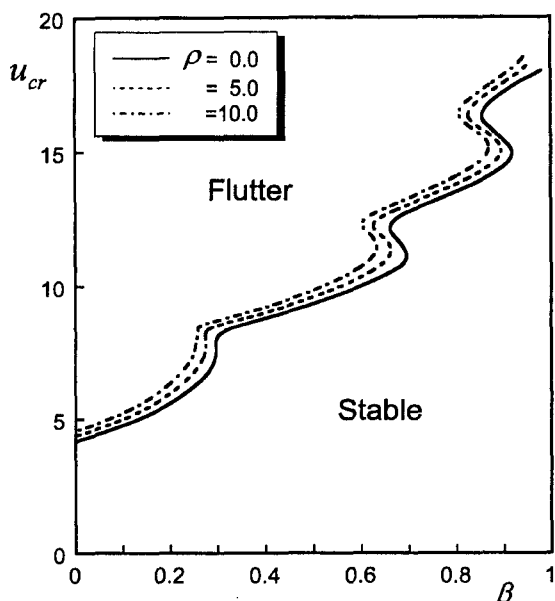


Fig. 9 Critical flow velocity depending on the mass ratio of the pipe and gravity parameter ($y = 0.0$)

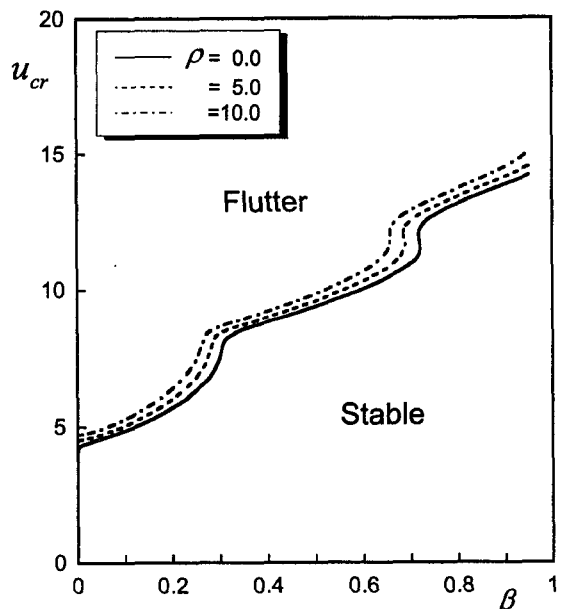


Fig. 10 Critical flow velocity depending on the mass ratio of the pipe and gravity parameter ($y = 0.001$)

4. 결론

본 논문에서는 내부 유동유체의 흐름을 받는 연직 외팔 송수관의 동적안정성에 미치는 중력효과를 다루었으며 다음과 같은 결론을 얻었다.

- (1) 내부감쇠가 없는 경우와 있는 경우 모두 동일 질량비에 대해 중력효과가 클수록 임계유속 값은 증가된다.
- (2) 중력효과가 작은 경우나 큰 경우 모두에 있어, 내부감쇠의 유무에 관계없이 플러터가 발생하는 고유치 분기의 차수와 불안정 모드의 차수와의 관계는 일치하지 않는다.

참고문헌

1. Benjamin, T. B., "Dynamics of a System of Articulated Pipes Conveying Fluid (I. Theory)," Proceedings of the Royal Society, Series A, Vol. 261, pp.457-486, 1961.
2. Benjamin, T. B., "Dynamics of a System of Articulated Pipes Conveying Fluid (II. Experiment),"

- Proceedings of the Royal Society, Series A,
Vol. 261, pp.487–499, 1961.
3. Gregory, R. W. and Paidoussis, M. P., "Unstable Oscillation of Tubular Cantilevers Conveying Fluid (I. Theory)," Proceedings of the Royal Society (London), Series A, Vol. 293, pp.512–527, 1966.
 4. Gregory, R. W. and Paidoussis, M. P.; "Unstable Oscillation of Tubular Cantilevers Conveying Fluid (II.Experiment)," Proceedings of the Royal Society (London), Series A, Vol.293, pp.528–542, 1966.
 5. Sugiyama, Y., Tanaka, Y., Kishi, T. and Kawagoe, H., "Effect of a Spring Support on the Stability of Pipes Conveying Fluid," Journal of Sound and Vibration, Vol.100, pp.257–270, 1985.
 6. Ryu, S. U., Sugiyama, Y. and Ryu, B. J., "Eigenvalue Branches and Modes for Flutter of Cantilevered Pipes Conveying Fluid," Computers and Structures, Vol. 80, pp.1231–1241, 2002.
 7. Ryu, B. J., Ryu, S. U., Kim, G. H. and Yim, K. B., "Vibration and Dynamic Stability of Pipes Conveying Fluid on Elastic Foundations," KSME International Journal, Vol.18, pp.2148–2157, 2004.